ТЕХНИЧЕСКАЯ ФИЗИКА

УДК 537.531.535.3

В. В. НЕМОШКАЛЕНКО, А. И. СЕНКЕВИЧ, В. Г. АЛЕШИН

ФОТОЭЛЕКТРОННЫЕ СПЕКТРЫ И ЗОННАЯ СТРУКТУРА ЩЕЛОЧНО-ГАЛОИДНЫХ КРИСТАЛЛОВ

(Представлено академиком Г. В. Курдюмовым 14 Х 1971)

1. Нами проводилось исследование фотоэлектронных спектров щелочногалоидных кристаллов. Эксперимент был выполнен на электронном спектрометре IEE-15. Разрешающая способность спектрометра 1,0 эв; давление в камере для образцов $1 \cdot 10^{-7}$ тор. В качестве источника фотонов использовалась K_{α} -линия алюминия.

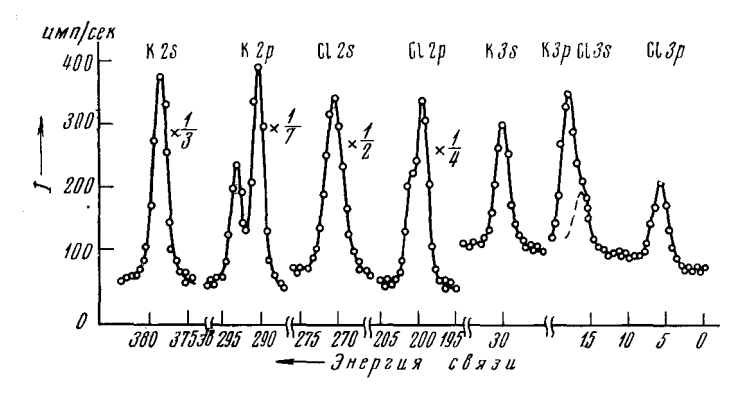


Рис. 1

2. Спектры фотоэлектронов от кристалла КСІ приведены на рис. 1. Для разных соединений они весьма сходны и поэтому на рис. 2 приведены для соединений NaCl, LiF, LiCl, NaF, NaJ, KF, KCl, KBr, KJ, CsJ только спектры валентных фотоэлектронов. Данные об энергетическом положении мак-

Таблица 1 Энергетическое положение максимумов в спектрах (эв)

		1s1/2	2s _{1/2}	$2p_{1/2}$	2p _{3/2}	381/2	$3p_{1/2}$	3 p _{3/2}	3d _{3/2}	3d _{8/2}	Валент- ная полоса
LiF	Li+	58,8									
	F-	688,0	32,7					ļ			11,1
LiCl	Li ⁺	57,4	•		j]		
	Cl-	,	270,7	201,2	199,6	17,5		!			6,1
NaF	Na ⁺	1074,2	66, 2		1,4	İ					10,3
	F-	687,3	33,2	Ì							
NaCl	Na ⁺	1072,2	64,1	3	1,3	1	1		1	l	6,5
	Cl-		270,3	201,0	199,3	17,3					
\mathbf{KF}	K+		378,7	296,7	294,0	34,1	17	7,9			7,7
	F-	684,5	28,8		1		ļ	Į.	}		1
K.Cl	K ⁺		378,7	293,0	290,2	29,8	17	7,7			5,8
	Cl-		270,3	200,6							
$\mathbf{K}\mathbf{Br}$	K ⁺		378,8	297,2	294,4	30,1	1	7,8		l	5,0
	Br-		,			257,0	 19 0,0	183,4	71.3	70,0	

Рис. 2

симумов в спектрах приведены табл. 1 и 2.

3. Сравним полученные нами значения энергий связи электронов в соепинениях NaJ, KJ и LiCl с расчетами, выполненными Кунцем (1-3). Мы приняли энергию связи электрона на дне зоны проводимости равной нулю, поэтому экспериментальные значения энергии связи сдвинуты таким образом, чтобы дно зоны проводимости имело нулевую энергию. Мы располагали данными по спектрам поглощения, полученными для КЈ в (4) $(N_{\text{IV. V}}$ -спектр J- в KJ), для NaJ в (5) $(L_{\rm II,\ III}$ -спектр ${
m Na^+}$ в ${
m NaJ})$ и для LiCl в (6) (K-chert Li+ B LiCl). Hayano norлощения в этих соединениях для указанных спектров было при 52,5; 32,2 и 59,4 эв соответственно. Как показано в работах (1-4, 7), состояния, лежащие на самом дне зоны проводимости, имеют симметрию Γ_i для широкого класса щелочно-галоидных кристаллов. Несмотря на то, что переходы в точку Γ_1 запрещеправилами отбора (в дипольном приближении), в K- и $N_{\text{IV, V}}$ -спектрах выбор начала отсчета с помощью рентгеновских спектров не приведет к заметному увеличению энергии связи, так как в работах $\binom{3}{4}$ показано, что плотность состояний в зоне проводимости рассматриваемых кристаллов быстро возрастает, начиная от энергии, соответствующей состоянию Γ_i , а переходы в окрестность точки Г, правилами отбора разрешены.

Как видно из табл. 3, между результатами эксперимента и расчета имеется удовлетворительное согласие. Рассмотрим возможные причины расхождений. В расчетах NaJ и KJ Кунцем (¹, ²) использовалось слэйтеровское приближение к обменному потенциалу, а в этом случае, как показал Липдгрен (³), собственные значения оператора энергии не совпадают со значениями энергий связи. Поправки, учитывающие отклонение собственных значений от энергии связи, носят название поправок Купман-

са. Величина их, например, для случая атомарного иода близка к 30 эв для 3s электронов и к 1,6 эв для 5s (°). Несколько лучшее согласие с экспериментом, достигнутое Кунцем, возможно, объясняется тем, что пеучет в расчете поправок Купманса частично компенсируется пеучетом корреляционных эффектов. Для кристаллов LiCl и NaCl, рассчитанных с учетом обмена по Хартри — Фоку, наблюдается значительное расхождение в энергетическом положении состояний, происшедших из 3s-состояний Cl⁻. Так, в LiCl, как видно из табл. 3, расхождение между теорией и эксперимен-

Энергетическое положение максимумов в спектрах (эв)

,		1s _{1/2}	2s _{1/2}	$2p_{1/2}$	$2p_{3/_{2}}$	3s _{1/2}	$3p_1/_2$	$3p_{3/2}$	3da ₂	3d _{5/2}	481/2	4p _{1/2}	$4p_{8/2}$		4d _{8/2}	5s _{1/2}	Валентная поло с а
КЈ	K+ J+				294,0	27,4 $1073,2$	931,6	9,3 875,6	631,7	620,1	187,2	123	,1	51,8	50,3	1 5,0	5,6
NaJ	Na ⁺	1074,4	62,5	33	3,4	1074,4	933,1	877,0	633,1	621,5	188,7	124	,3	53,5	51,9	15,8	6,3
\mathbf{CsJ}	Cs ⁺					1073,3	$1067,5 \\ 932,8$	999,4 $875,3$	$ \begin{array}{c c} 740, 1 \\ 632, 4 \end{array} $	$\begin{bmatrix} 726,0\\ 623,1 \end{bmatrix}$	231,7 $187,5$	171,6 123	$^{160,6}_{,3}$	$\begin{bmatrix} 79,1\\ 51,9 \end{bmatrix}$	$76,9 \\ 50,3$	24,8 $16,1$	$ \begin{array}{c} 12,2 \\ 5,5 \end{array} $

Таблица 3

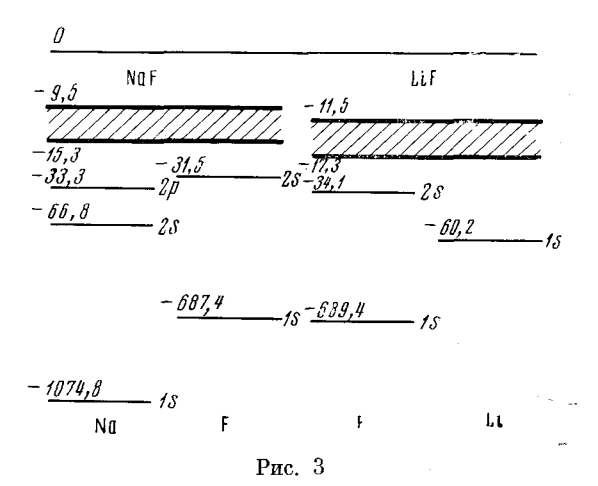
Энергии связи электронов (эв)

		181/2	2s _{1/2}	$2p_{1/2}$	2ps/2	3 s _{1/2}	$3p_{1/2}$	$3p_{3/2}$	$3ds_{/2}$	3d _{5/2}	481/2	$4p_{1/2}$	$4p_{3/2}$	4.13/2	4d5/2	58 _{1/2}	Валентн ая полоса
КЈ	К+		380,7	299,0	296,2	29,6	21	,5									
	K _{reop}		368,6	299,3	295,9	36,6	19,6	19,9	}								
	Ј _{эксп}					1075,4	933,8	877,8	633,9	622,3	189,5	12	5,3	54,0	52,5	17,2	7,8
	J_teon					1052,4	935,3	883,9	683,6	671,3	187,1	142, 2	135,5	59,0	57,1	17,1	5,5
NaJ	Na _{pren}	1073,2	61,3	3	[2,2]		}						j				
	Na _{reop}	1060,0	61,4	33,7	33,5												
	$\mathbf{J}_{-}^{\mathfrak{g}_{\mathbf{KCH}}}$					1073,2	931,9	875,8	631,9	620,3	187,5	12	3,1	52,3	50,7	14,6	5,1
	J_reo					1051,8	934,8	883,1	655,9	643,6	186,6	144,4	133,5	59,7	57,8	17,5	5,9
LiCl	Li ⁺ _{эксп}	59,4					=	İ	1		1 1						
	Li ⁺ _{reop}	69,9	li .														
	Cl ⁺	05,	i	203,2	201,6	19,5											8,1
	Cl _{reop}	1	290,5		21,5	35,1			1]			1		1		10,8

70		Метод опре	деления		Метод определения					
К ри ст алл	р.ф.с.	о.с., уф	o.c.	Кри с талл	р.ф.с.	о.с., уф	0.0.			
LiF LiCl NaF	$\begin{vmatrix} 12,5\\8,1\\10,9 \end{vmatrix}$	13,6 9,2 11,5	$\begin{array}{c} 11,5 \ (^{10}) \\ 8,6 \ (^{11}) \\ 9,5 \ (^{10}) \end{array}$	NaCl KCl KJ	8,2 6,8 6,3	8,2 8,1 5,9	7,5 (12) 7,4 (13) 5,4 (14)			

том составляет 15,6 эв, что недопустимо много в подобного рода расчетах.

Если воспользоваться данными работы (7) для кристалла NaCl, то отличие в энергетическом положении зон Γ_1 (3s Cl⁻) и Γ_{15} (преимущественно 3p Cl⁻) также заметно. Теория дает расстояние между этими зонами



18,4 эв, тогда как эксперимент 10,8 эв. Для улучшения согласия теории с экспериментом необходимо производить учет релаксационных, корреляционных и поляризационных эффектов (*).

Р.ф.с. (рентгеновская фотоэлектронная спектроскопия) дает возмож-

ность производить оценку ширины запрещенной зоны (табл. 4).

Совместное использование р.ф.с. и р.с. позволяет строить единые энертетические схемы кристаллов. Рассмотрим это на примере соединений LiF и NaF. Для соединений LiF и NaF эмиссионные рентгеновские спектры фтора получены Фишером (15). С учетом того, что K-поглощение Li⁺ в LiF начинается при 60,2 эв, а $L_{\text{П, III}}$ -спектр Na⁺ в NaF при 32,0 эв, получаем энергетические схемы кристаллов, приведенные на рис. З (ширина валентных зон определена по эмиссионным спектрам).

Институт металлофизики Академии наук УССР Киев Поступило 10 X 1971

ЦИТИРОВАННАЯ ЛИТЕРАТУРА

¹ A. B. Kunz, Phys. Rev., 180, 934 (1969). ² A. B. Kunz, J. Phys. Chem. Solids, 31, 265 (1970). ³ A. B. Kunz, Phys. Rev., B2, 5015 (1970). ⁴ F. C. Brown, C. Gähwiller et al., Phys. Rev., B2, 2126 (1970). ⁵ R. Haensel, C. Kunz et al., Phys. Rev. Lett., 18, 1436 (1968). ⁶ R. Haensel, C. Kunz, B. Sonntag, Phys. Rev. Lett., 24, 262 (1968). ⁷ N. O. Lipari, A. B. Kunz, Phys. Rev., B3, 491 (1971). ¹⁸ I. Lindgren, Phys. Lett., 19, 382 (1965). ⁹ I. Lindgren, Phys. Rev., 176, 114 (1968). ¹⁰ D. M. Roessler, W. C. Walker, J. Phys. Chem. Solids, 28, 1507 (1967). ¹¹ K. Teegarden, G. Baldini, Phys. Rev., 155, 896 (1967). ¹² T. Miyota, T. Tomiki, J. Phys. Soc. Japan, 24, 1286 (1968). ¹³ T. Tomiki, J. Phys. Soc. Japan, 22, 463 (1967). ¹⁴ J. J. Hopfield, J. M. Worlock, Phys. Rev., 137, A1455 (1965). ¹⁵ D. Fischer, J. Chem. Phys., 42, 3814 (1965).